

УДК 547.288.3 + 547.772 + 547.785.5

# СИНТЕЗ 3-АРИЛ-1-АРОИЛ-5-(2-ТРИФТОРАЦЕТАМИНОАНИЛИНО)ПИРАЗОЛОВ ІЗ АРОИЛГИДРАЗОНОВ 2-АРОИЛМЕТИЛ-1Н-БЕНЗИМИДАЗОЛОВ

І.Б.Дзвинчук, М.О.Лозинский

Інститут органіческої хімії НАН України,  
02094, г. Київ, ул. Мурманская, 5. E-mail: dzvinch@bigmir.net

*Ключові слова:* бензимидазоли; гидразони; пиразоли; рециклізація; трифторуксусний ангідрид

**Взаємодействие ароилгидразонов 2-ароилметил-1Н-бензимидазолов с трифторацетангідридом сопровождается рециклізацією, приводящей к 3-арил-1-ароил-5-(2-трифторацетаміноааніліно)пиразолам. Реакция осложняется образованием 2,5-диарил-12а-трифторометил[1,3,4]оксациазоло[2',3':2,3]піримідо[1,6-а]бензимідазолов.**

**SYNTHESIS OF 3-ARYL-1-AROYL-5-(2-TRIFLUOROACETYLAMINOANILINO)PYRAZOLES FROM 2-AROYLMETHYL-1H-BENZIMIDAZOLE AROYLHYDRAZONES**

I.B.Dzvinchuk, M.O.Lozinskij

*The interaction of 2-arylmethyl-1H-benzimidazole aroylhydrazones with trifluoroacetic anhydride is accompanied by recyclization 3-aryl-1-aryl-5-(2-trifluoroacetamino-anilino)pyrazoles. The reaction is complicated by the formation of 2,5-diaryl-12a-trifluoromethyl[1,3,4]oxadiazolo[2',3':2,3]pyrimido[1,6-a]benzimidazoles.*

**СИНТЕЗ 3-АРИЛ-1-АРОЇЛ-5-(2-ТРИФТОРАЦЕТАМИНОАНИЛІНО)ПІРАЗОЛІВ ІЗ АРОЇЛГІДРАЗОНІВ  
2-АРОЇЛМЕТИЛ-1Н-БЕНЗІМІДАЗОЛІВ**

І.Б.Дзвінчук, М.О.Лозинський

**Взаємодія ароїлгідразонів 2-ароїлметил-1Н-бензімідазолів із трифторацетангідридом супроводжується рециклізацією, що веде до 3-арил-1-ароїл-5-(2-трифторацетаміноааніліно)пиразолів. Перебіг реакції ускладнюється утворенням 2,5-діарил-12а-трифторометил[1,3,4]оксациазоло[2',3':2,3]піримідо[1,6-а]бензімідазолів.**

Рециклізаціи ефектні в синтезі функціоналізованих соединений, однако их препаративні можливості могут ограничуватися устойчивістю цикла и природой заместителей в исходных реагентах [1-6]. Так, бензоилгидразон 2-фенацилбензимидазола (1a) содержит малононуклеофильную гидразоновую аминогруппу и при нагревании до 200°C не рециклізується, а циклизуется за счет конденсації карбонильной группы по активной метиленовой и дает 2-(3,5-дифенилпіразол-4-ил)бензимидазол [7]. Тем не мене, его можно рециклізовать при 20°C в условиях реакции ацилирования трифторуксусным ангідридом, которая протекает, возможно, через N-ацилбензимидолиеву соль 3a и спирал 5a с образованием 1-бензоил-5-(2-трифторацетаміноааніліно)пиразола 7a (схема 1) [8]. В тех же условиях ароилгидразони 2-ацетонилбензимидазола не рециклізуются, а претерпевают циклоконденсацію с образованием 12a-трифторометил[1,3,4]оксациазоло[2',3':2,3]піримідо[1,6-а]бензімідазолів [9]. Очевидно, что направление реакции весьма чувстви-

тельно к природе заместителей в исходных гидразонах. Поэтому способность к рециклізації широких серий ароилгидразонов 2-фенацилбензимидазолов (1b-g) и бензоилгидразонов 2-ароїлметилбензимідазолов (2a-f) оставалась неизвестной и изучена нами в настоящей работе.

Нами найдено, что взаємодія соединений 1b-g и 2a-f с трифторацетангідридом сопровождается рециклізацією, протекающей, возможно, через промежуточное образование соединений типа 3-6 и приводящей к ранее неизвестным 3-арил-1-ароїл-5-(2-трифторацетаміноааніліно)пиразолам 7b-g и 8a-f.

Реакция не осложняется миграцией ацильных групп между кольцевыми атомами азота, характерной для 5-анилино-1-ацилпиразолов (по данным [10]), но, в целом, протекает с невысокой избирательностью. Тем не мене, побочные продукты благодаря повышенной растворимости не мешают выделению целевых соединений из реакционных смесей. Выходы соединений типа 7 уменьнены — 48-65%. Выходы соединений типа 8

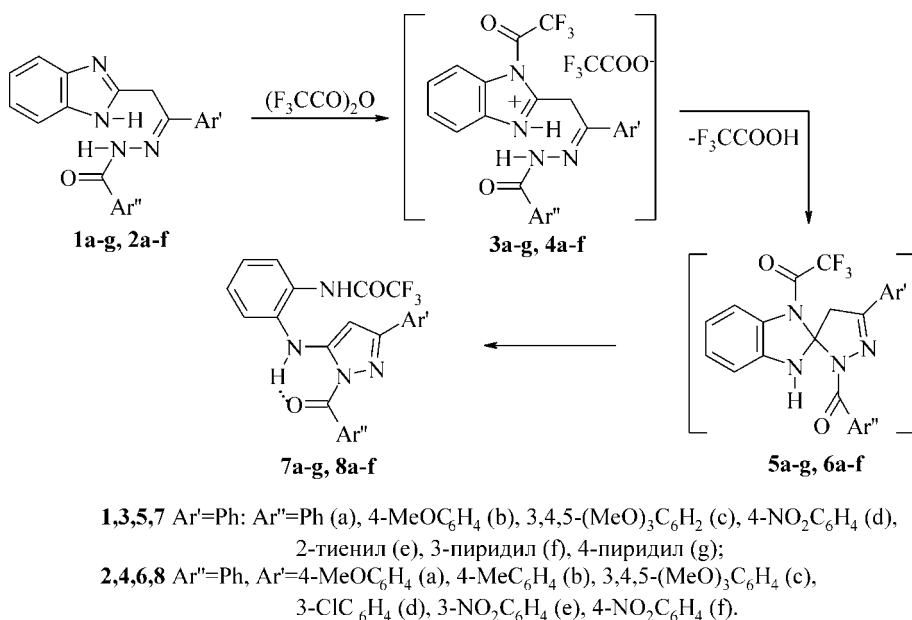


Схема 1

изменяются в порядке уменьшения электронодонорных свойств их арильного заместителя R' от 37 до 75%. Эта закономерность связана с протеканием побочной реакции, сущность которой выяснена нами на примере превращения соединения 2a, проявившего наименьшую склонность рециклизоваться. В данном случае (схема 2) ацилбензимидазолиевая соль 4a, вероятно, успевает частично изомеризоваться в енгидразиновую форму 9, превращающуюся через ротамер 10 и соединения 11, 12 в [1,3,4]оксадиазоло[2',3':2,3]пирамидо[1,6-а]бензимидазол 13, который нам удалось выделить в индивидуальном состоянии. Очевидно, что образованию енгидразиновых форм типа 9 и 10 должны благоприятствовать электронодонорные арильные заместители у гидразоновой азометиновой связи, поскольку именно они образуют энергетически выгодную систему сопряжения

с электроноакцепторной N-ацилбензимидазолиевой группировкой.

Структура продукта рециклизации 7a подтверждена его гидразинолизом (схема 3). Реакция приводит к снятию трифторацетильной и бензоильной групп, однако не останавливается на стадии образования 5-анилинопиразола 14, а сопровождается прототропной изомеризацией и дает устойчивый (не проявляющий таутомерных свойств) 3-анилинопиразол 15.

Это соединение было описано в литературе под структурой 14 [11]. Для ее опровержения, а также для подтверждения строения соединений типа 7 и 8 нами получены три объекта сравнения. Их синтез проведен на основе превращений цианэтилгидразона 2-фенацилбензимидазола 16 (схема 4). Рециклизацией при действии трифторацетангидрида получено соединение 17, моделирующее струк-

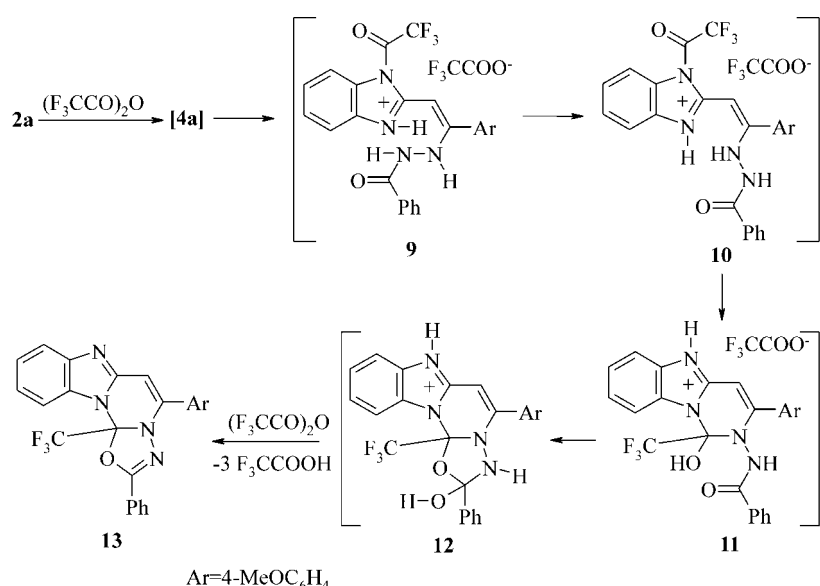


Схема 2

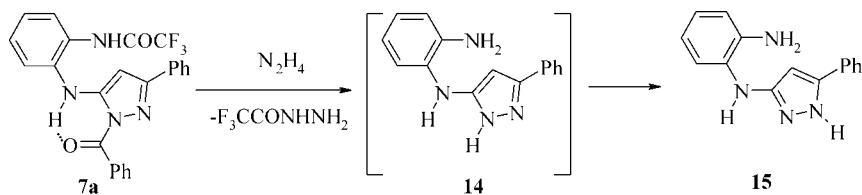


Схема 3

туры типа 7 и 8. Последующим гидразинолизом получен 5-анилинопиразол 18, моделирующий структуру 14. Используя ранее описанный метод синтеза 3-анилино-1-метилпиразолов [12], мы взаимодействием соединения 17 с диметилсульфатом получили соль 19, которую, не выделяя в индивидуальном состоянии, превратили гидразинолизом в 3-анилино-1-метилпиразол 20, моделирующий особенности структуры 15.

Состав и строение синтезированных соединений подтверждены элементным анализом (табл. 1) и спектрами ЯМР  $^1\text{H}$  (табл. 2). Строение соединений 7a и 17 подтверждены также ИК-спектрами, а соединения 13 — спектром ЯМР  $^{19}\text{F}$ .

По данным ИК-спектров соединение 7a имеет две карбонильные группы, причем полоса поглощения ни одной из них (1670 и 1700  $\text{cm}^{-1}$ ) не совпадает по частоте с полосой поглощения  $\text{vC=O}$  (1735  $\text{cm}^{-1}$ ) структурного аналога 17. Дополнительную информацию дают спектры ЯМР  $^1\text{H}$ . Протон аминогруппы, сочлененной с пиразольным циклом, в соединении 17 резонирует при 7,63 м. д., а соответствующие протоны соединений типа 7 и 8 резонируют в поле, более слабом почти на 2 м. д. Из этого следует, что в пиразолах типа 7 и 8 атом водорода аминогруппы, находящейся в положении 5, связан прочной внутримолекулярной водородной связью с атомом кислорода карбонильной группы, находящейся в положении 1.

Спектры ЯМР соединения 13 согласуются с данными по его полигетероциклической системе [9]. Например, сигналы 6-, 8-, (9-, 10-) и 11-Н проявляются при 6,92, 7,85-7,89, (7,35-7,46) и 7,72, а у его структурного аналога, содержащего метильную группу вместо 4-метоксифенильного

фрагмента, — при 6,29, 7,81, (7,29-7,39) и 7,57-7,67 м.д. Сигнал группы  $\text{CF}_3$  проявляется при -82,77, а у структурного аналога — в близкой области при -83,90 м.д.

По данным спектра ЯМР  $^1\text{H}$  в соединении 20 метильная группа оказывает пространственные помехи копланарному расположению пиразольного и фенильного колец, вследствие чего последнее не оказывает дезэкранирующего влияния на пиразольный протон в положении 4, и он проявляется при 5,92 м.д. (у соединений 15 и 18 — при 6,21 и 5,97 м.д.). По этой причине соединение 20 может моделировать лишь ту часть молекулы соединения 15, которая удалена от фенильного заместителя. Особо примечательно дезэкранирующее влияние, оказываемое пиразольным атомом азота пиридинового типа на протон в положении 6 анилинового фрагмента. В соединении 20 этот протон резонирует в области 7,40-7,51 м.д., перекрываемой сигналами протонов фенильного кольца. В соединении 15 соответствующий протон проявляется почти в той же области — 7,40-7,45 м.д.; туда же попадает и сигнал м-протонов фенильного кольца. В соединении 18, моделирующем структуру 14, такое дезэкранирование невозможно, и соответствующий сигнал смешен на 0,6 м.д. в более сильное поле, где проявляется совместно с сигналом 3-Н анилинового фрагмента. Аналогичные особенности спектров ЯМР  $^1\text{H}$  1-алкилзамещенных 3- и 5-анилинопиразолов были описаны в работе [12].

Следовательно, прототропные изомерные структуры 14 и 15 различаются по устойчивости весьма существенно. Причина такого их несходства находится, возможно, в различии систем сопряжения, передающих электронодонорное влияние арил-

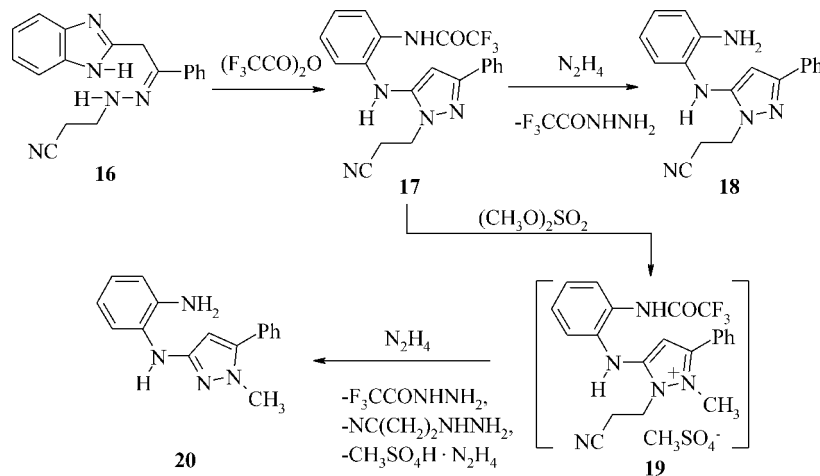


Схема 4

Таблиця 1

## Характеристика синтезированных соединений

Соединение	Брутто-формула	Найдено, %			Т. пл., °C	Выход, %
		C	H	N		
7a	C <sub>24</sub> H <sub>17</sub> F <sub>3</sub> <sup>a</sup> N <sub>4</sub> O <sub>2</sub>	64,12 64,00	3,97 3,80	12,38 12,44	161-162	58
7b	C <sub>25</sub> H <sub>19</sub> F <sub>3</sub> N <sub>4</sub> O <sub>3</sub>	62,38 62,50	4,08 3,99	11,55 11,66	166-167	50
7c	C <sub>27</sub> H <sub>23</sub> F <sub>3</sub> N <sub>4</sub> O <sub>5</sub>	59,92 60,00	4,38 4,29	10,29 10,37	178-180	65
7d	C <sub>24</sub> H <sub>16</sub> F <sub>3</sub> N <sub>5</sub> O <sub>4</sub>	58,11 58,19	3,31 3,26	14,08 14,14	204-205	60
7e	C <sub>22</sub> H <sub>15</sub> F <sub>3</sub> N <sub>4</sub> O <sub>2</sub> S	57,77 57,89	3,43 3,31	12,14 12,27	200-201,5	57
7f	C <sub>23</sub> H <sub>16</sub> F <sub>3</sub> N <sub>5</sub> O <sub>2</sub>	61,08 61,20	3,64 3,57	15,38 15,51	172,5-174	48
7g	C <sub>23</sub> H <sub>16</sub> F <sub>3</sub> N <sub>5</sub> O <sub>2</sub>	61,11 61,20	3,61 3,57	15,45 15,51	172-173	53
8a	C <sub>25</sub> H <sub>19</sub> F <sub>3</sub> N <sub>4</sub> O <sub>3</sub>	62,47 62,50	4,05 3,99	11,59 11,66	162,5-164	37
8b	C <sub>25</sub> H <sub>19</sub> F <sub>3</sub> N <sub>4</sub> O <sub>2</sub>	64,53 64,65	4,24 4,12	11,94 12,06	155-156,5	43
8c	C <sub>27</sub> H <sub>23</sub> F <sub>3</sub> N <sub>4</sub> O <sub>5</sub>	59,89 60,00	4,36 4,29	10,28 10,37	206-207,5	65
8d	C <sub>24</sub> H <sub>16</sub> ClF <sub>3</sub> N <sub>4</sub> O <sub>2</sub>	59,89 59,45	3,41 3,33	11,43 11,56	185,5-187	62
8e	C <sub>24</sub> H <sub>16</sub> F <sub>3</sub> N <sub>5</sub> O <sub>4</sub>	58,08 58,19	3,33 3,26	14,06 14,14	218,5-220	65
8f	C <sub>24</sub> H <sub>16</sub> F <sub>3</sub> N <sub>5</sub> O <sub>4</sub>	58,11 58,19	3,31 3,26	14,09 14,14	221,5-223	75
13	C <sub>25</sub> H <sub>17</sub> F <sub>3</sub> N <sub>4</sub> O <sub>2</sub>	64,81 64,94	3,64 3,71	12,03 12,12	165-166,5	40
15	C <sub>15</sub> H <sub>14</sub> N <sub>4</sub>	71,96 71,98	5,69 5,64	22,29 22,38	142,5-144 <sup>b</sup>	96
17	C <sub>20</sub> H <sub>16</sub> F <sub>3</sub> N <sub>5</sub> O	60,12 60,15	4,18 4,04	17,47 17,54	152-153,5	83
18	C <sub>18</sub> H <sub>17</sub> N <sub>5</sub>	71,16 71,27	5,72 5,65	23,00 23,09	125,5-127	94
20	C <sub>16</sub> H <sub>17</sub> N <sub>4</sub>	72,47 72,70	6,15 6,10	21,14 21,20	64-66	80

<sup>a</sup> Найдено, %: F - 12,79. Вычислено, %: F - 12,65.<sup>b</sup> Лит. данные [11]: 142-144.

аминогруппы на связь C=N пиразольного кольца. Очевидно, что в структуре 15 цепь сопряжения на одну кратную короче и, соответственно, энергетически более выгодна.

**Экспериментальная часть**

ИК-спектр соединений 7a и 17 снимали на приборе UR-20 в таблетках KBr. Спектры ЯМР <sup>1</sup>H и <sup>19</sup>F регистрировали на спектрометре Varian VXR-300 (300 МГц) в ДМСО-D<sub>6</sub>, эталоны — ТМС и CFCl<sub>3</sub>. Контроль за ходом реакций и чистотой синтезированных соединений проводили методом ТХС на пластинках Silufol UV-254 в системе бензолов — этанол, 9:1, проявление в УФ свете. Перед определением температуры плавления, выполнением элементного анализа и спектральных исследований соединения выдерживали в пистолете Фишера в вакууме водоструйного насоса (115°C, 5 ч).

**1-Бензоил-5-(2-трифторацетаминоанилино)-3-фенилпиразол (7a).** К соединению 1a (1 ммоль) в 0,5 мл безводного диоксана прибавляют при перемешивании трифторуксусный ангидрид — 2 ммоль. Смесь перемешивают 2-3 мин до образования гомогенного раствора и оставляют на 1 ч при 15-20°C. Прибавляют при перемешивании 2-пропанол и воду (по 0,5 мл), через 20 мин осадок отфильтровывают, промывают 2-пропанолом. Кристаллизуют из смеси этанола и этилацетата (3:1). ИК-спектр ((KBr), см<sup>-1</sup>): 1670 и 1700 (C=O), 3285 (N-H).

Аналогично получают соединения 7b,c,e и 8b,c,d из соединений 1b,c,e и 2b,c,d.

**1-(4-Нитробензоил-5-(2-трифторацетаминоанилино)-3-фенилпиразол (7d).** К соединению 1d (1 ммоль) в 0,5 мл безводного диоксана при перемешивании прибавляют 0,3 мл (3 ммоль) трифторуксусного

Таблиця 2

Параметри спектрів ЯМР  $^1\text{H}$  синтезированих соединений

Соединение	Спектр ЯМР $^1\text{H}$ , $\delta$ , м.д., $J$ , (Гц)
7a	6,70 (1Н, с, 4-Н), 7,20 (1Н, т, $J=7,2$ , 1,2- $\text{C}_6\text{H}_4$ 4-Н), 7,40-7,50 (5Н, м, $\text{Ph}_3$ -, 4-, 5-Н + 1,2- $\text{C}_6\text{H}_4$ 5-, 6-Н), 7,60 (2Н, т, $J=7,8$ , $\text{COPh}_3$ -, 5-Н), 7,71 (1Н, т, $J=7,8$ , $\text{COPh}_4$ -Н), 7,78 (1Н, д, $J=7,8$ , 1,2- $\text{C}_6\text{H}_4$ 3-Н), 7,88-7,90 (2Н, м, $\text{Ph}_2$ -, 6-Н), 8,10 (2Н, д, $J=7,5$ , $\text{COPh}_2$ -, 6-Н), 9,51 (1Н, с, NHHet), 11,33 (1Н, с, NHCO)
7b	3,90 (3Н, с, $\text{CH}_3\text{O}$ ), 6,70 (1Н, с, 4-Н), 7,15 и 8,21 (2x2Н, два д, $J=8,7$ , 1,4- $\text{C}_6\text{H}_4$ ), 7,18 (1Н, т, $J=8,1$ , 1,2- $\text{C}_6\text{H}_4$ 4-Н), 7,39 (1Н, д, $J=7,5$ , 1,2- $\text{C}_6\text{H}_4$ 6-Н), 7,45-7,49 (4Н, м, $\text{Ph}_3$ -, 4-, 5-Н + 1,2- $\text{C}_6\text{H}_4$ 5-Н), 7,76 (1Н, д, $J=8,1$ , 1,2- $\text{C}_6\text{H}_4$ 3-Н), 7,91 (2Н, д, $J=7,8$ , $\text{Ph}_2$ -, 6-Н), 9,55 (1Н, с, NHHet), 11,32 (1Н, с, NHCO)
7c	3,81 (3Н, с, $\text{CH}_3\text{O}$ ), 3,87 (6Н, с, 2 $\text{CH}_3\text{O}$ ), 6,70 (1Н, с, 4-Н), 7,22 (1Н, т, $J=7,5$ , 1,2- $\text{C}_6\text{H}_4$ 4-Н), 7,40 (1Н, д, $J=8,1$ , 1,2- $\text{C}_6\text{H}_4$ 6-Н), 7,45-7,50 (4Н, м, $\text{Ph}_3$ -, 4-, 5-Н + 1,2- $\text{C}_6\text{H}_4$ 5-Н), 7,54 (2Н, с, $\text{C}_6\text{H}_2$ ), 7,77 (1Н, д, $J=8,4$ , 1,2- $\text{C}_6\text{H}_4$ 3-Н), 7,92 (2Н, д, $J=6,9$ , $\text{Ph}_2$ -, 6-Н), 9,45 (1Н, с, NHHet), 11,35 (1Н, с, NHCO)
7d	6,70 (1Н, с, 4-Н), 7,24 (1Н, т, $J=7,5$ , 1,2- $\text{C}_6\text{H}_4$ 4-Н), 7,41-7,51 (5Н, м, $\text{Ph}_3$ -, 4-, 5-Н + 1,2- $\text{C}_6\text{H}_4$ 5-, 6-Н), 7,78 (1Н, д, $J=8,1$ , 1,2- $\text{C}_6\text{H}_4$ 3-Н), 7,87 (2Н, м, $\text{Ph}_2$ -, 6-Н), 8,29 и 8,41 (2x2Н, два д, $J=8,1$ , 1,4- $\text{C}_6\text{H}_4$ ), 9,41 (1Н, с, NHHet), 11,31 (1Н, с, NHCO)
7e	6,69 (1Н, с, 4-Н), 7,21 (1Н, т, $J=7,5$ , 1,2- $\text{C}_6\text{H}_4$ 4-Н), 7,33 (1Н, т, $J=4,5$ , тиенил 3-Н), 7,40 (1Н, д, $J=7,2$ , 1,2- $\text{C}_6\text{H}_4$ 6-Н), 7,44-7,54 (4Н, м, $\text{Ph}_3$ -, 4-, 5-Н + 1,2- $\text{C}_6\text{H}_4$ 5-Н), 7,76 (1Н, д, $J=7,8$ , 1,2- $\text{C}_6\text{H}_4$ 3-Н), 8,05 (2Н, д, $J=7,2$ , $\text{Ph}_2$ -, 6-Н), 8,23 (1Н, д, $J=4,5$ , тиенил 4-Н), 8,37 (1Н, д, $J=3,3$ , тиенил 2-Н), 9,60 (1Н, с, NHHet), 11,29 (1Н, с, NHCO)
7f	6,74 (1Н, с, 4-Н), 7,22 (1Н, т, $J=7,5$ , 1,2- $\text{C}_6\text{H}_4$ 4-Н), 7,41-7,51 (5Н, м, $\text{Ph}_3$ -, 4-, 5-Н + 1,2- $\text{C}_6\text{H}_4$ 5-, 6-Н), 7,65 (1Н, м, пиридил 5-Н), 7,78 (1Н, д, $J=7,5$ , 1,2- $\text{C}_6\text{H}_4$ 3-Н), 7,89 (2Н, м, $\text{Ph}_2$ -, 6-Н), 8,45 (1Н, д, $J=7,2$ , пиридил 4-Н), 8,84 (1Н, м, пиридил 6-Н), 9,21 (1Н, с, пиридил 2-Н), 9,48 (1Н, с, NHHet), 11,38 (1Н, с, NHCO)
7g	6,73 (1Н, с, 4-Н), 7,22 (1Н, т, $J=7,5$ , 1,2- $\text{C}_6\text{H}_4$ 4-Н), 7,41-7,51 (5Н, м, $\text{Ph}_3$ -, 4-, 5-Н + 1,2- $\text{C}_6\text{H}_4$ 5-, 6-Н), 7,78 (1Н, д, $J=7,8$ , 1,2- $\text{C}_6\text{H}_4$ 3-Н), 7,87 (2Н, м, $\text{Ph}_2$ -, 6-Н), 7,93 и 8,85 (2x2Н, два д, $J=8,1$ , 4-пиридил), 9,43 (1Н, с, NHHet), 11,38 (1Н, с, NHCO)
8a	3,79 (3Н, с, $\text{CH}_3\text{O}$ ), 6,67 (1Н, с, 4-Н), 7,00 и 7,82 (2x2Н, два д, $J=8,7$ , 1,4- $\text{C}_6\text{H}_4$ ), 7,18 (1Н, т, $J=7,8$ , 1,2- $\text{C}_6\text{H}_4$ 4-Н), 7,39 (1Н, д, $J=7,5$ , 1,2- $\text{C}_6\text{H}_4$ 6-Н), 7,47 (1Н, т, $J=7,8$ , 1,2- $\text{C}_6\text{H}_4$ 5-Н), 7,59 (2Н, т, $J=7,8$ , $\text{Ph}_3$ -, 5-Н), 7,69 (1Н, т, $J=7,5$ , $\text{Ph}_4$ -Н), 7,76 (1Н, д, $J=8,4$ , 1,2- $\text{C}_6\text{H}_4$ 3-Н), 8,08 (2Н, д, $J=7,5$ , $\text{Ph}_2$ -, 6-Н), 9,56 (1Н, с, NHHet), 11,35 (1Н, с, NHCO)
8b	2,34 (3Н, с, $\text{CH}_3$ ), 6,68 (1Н, с, 4-Н), 7,20 (1Н, т, $J=7,5$ , 1,2- $\text{C}_6\text{H}_4$ 4-Н), 7,26 и 7,77 (2x2Н, два д, $J=8,1$ , 1,4- $\text{C}_6\text{H}_4$ ), 7,40 (1Н, д, $J=7,5$ , 1,2- $\text{C}_6\text{H}_4$ 6-Н), 7,47 (1Н, т, $J=7,5$ , 1,2- $\text{C}_6\text{H}_4$ 5-Н), 7,60 (2Н, т, $J=7,5$ , $\text{Ph}_3$ -, 5-Н), 7,70 (1Н, т, $J=7,5$ , $\text{Ph}_4$ -Н), 7,76 (1Н, м, 1,2- $\text{C}_6\text{H}_4$ 3-Н), 8,08 (2Н, д, $J=7,5$ , $\text{Ph}_2$ -, 6-Н), 9,54 (1Н, с, NHHet), 11,34 (1Н, с, NHCO)
8c	3,709 (3Н, с, $\text{CH}_3\text{O}$ ), 3,83 (6Н, с, 2 $\text{CH}_3\text{O}$ ), 6,75 (1Н, с, 4-Н), 7,16 (2Н, с, $\text{C}_6\text{H}_2$ ), 7,20 (1Н, т, $J=7,8$ , 1,2- $\text{C}_6\text{H}_4$ 4-Н), 7,40 (1Н, д, $J=7,2$ , 1,2- $\text{C}_6\text{H}_4$ 6-Н), 7,50 (1Н, т, $J=7,5$ , 1,2- $\text{C}_6\text{H}_4$ 5-Н), 7,60 (2Н, т, $J=7,5$ , $\text{Ph}_3$ -, 5-Н), 7,70 (1Н, т, $J=7,5$ , $\text{Ph}_4$ -Н), 7,77 (1Н, д, $J=8,1$ , 1,2- $\text{C}_6\text{H}_4$ 3-Н), 8,12 (2Н, д, $J=7,5$ , $\text{Ph}_2$ -, 6-Н), 9,53 (1Н, с, NHHet), 11,34 (1Н, с, NHCO)
8d	6,79 (1Н, с, 4-Н), 7,20 (1Н, т, $J=7,5$ , 1,2- $\text{C}_6\text{H}_4$ 4-Н), 7,39 (1Н, д, $J=7,8$ , 1,2- $\text{C}_6\text{H}_4$ 6-Н), 7,47 (3Н, м, 1,2- $\text{C}_6\text{H}_4$ 5-Н + 3- $\text{ClC}_6\text{H}_4$ 4-, 5-Н), 7,60 (2Н, т, $J=7,5$ , $\text{Ph}_3$ -, 5-Н), 7,71 (1Н, т, $J=7,5$ , $\text{Ph}_4$ -Н), 7,77 (1Н, д, $J=8,1$ , 1,2- $\text{C}_6\text{H}_4$ 3-Н), 7,84 (1Н, м, 3- $\text{ClC}_6\text{H}_4$ 6-Н), 7,93 (1Н, с, 3 $\text{ClC}_6\text{H}_4$ 2-Н), 8,06 (2Н, д, $J=7,5$ , $\text{Ph}_2$ -, 6-Н), 9,50 (1Н, с, NHHet), 11,37 (1Н, с, NHCO)
8e	6,87 (1Н, с, 4-Н), 7,22 (1Н, т, $J=7,5$ , 1,2- $\text{C}_6\text{H}_4$ 4-Н), 7,40 (1Н, д, $J=7,8$ , 1,2- $\text{C}_6\text{H}_4$ 6-Н), 7,49 (1Н, т, $J=8,1$ , 1,2- $\text{C}_6\text{H}_4$ 5-Н), 7,60 (2Н, т, $J=7,5$ , $\text{Ph}_3$ -, 5-Н), 7,69-7,80 (3Н, м, $\text{Ph}_4$ -Н + 1,2- $\text{C}_6\text{H}_4$ 3-Н + 1,3- $\text{C}_6\text{H}_4$ 5-Н), 8,07 (2Н, д, $J=7,5$ , $\text{Ph}_2$ -, 6-Н), 8,24-8,32 (2Н, м, 1,3- $\text{C}_6\text{H}_4$ 4-, 6-Н), 8,63 (1Н, с, 1,3 $\text{C}_6\text{H}_4$ 2-Н), 9,48 (1Н, с, NHHet), 11,37 (1Н, с, NHCO)
8f	6,80 (1Н, с, 4-Н), 7,22 (1Н, т, $J=7,5$ , 1,2- $\text{C}_6\text{H}_4$ 4-Н), 7,41 (1Н, д, $J=7,8$ , 1,2- $\text{C}_6\text{H}_4$ 6-Н), 7,48 (1Н, т, $J=8,1$ , 1,2- $\text{C}_6\text{H}_4$ 5-Н), 7,60 (2Н, т, $J=8,1$ , $\text{Ph}_3$ -, 5-Н), 7,72 (1Н, т, $J=7,5$ , $\text{Ph}_4$ -Н), 7,76 (1Н, д, $J=8,1$ , 1,2- $\text{C}_6\text{H}_4$ 3-Н), 8,07 (2Н, д, $J=7,1$ , $\text{Ph}_2$ -, 6-Н), 8,13 и 8,28 (2x2Н, два д, $J=8,4$ , 1,4- $\text{C}_6\text{H}_4$ ), 9,44 (1Н, с, NHHet), 11,38 (1Н, с, NHCO)
13	3,88 (3Н, с, $\text{CH}_3\text{O}$ ), 6,92 (1Н, с, 6-Н), 7,15 (2Н, д, $J=8,7$ , 1,4- $\text{C}_6\text{H}_4$ 3-, 5-Н), 7,35-7,46 (2Н, м, 9-, 10-Н), 7,54 (2Н, т, $J=7,8$ , $\text{Ph}_3$ -, 5-Н), 7,63 (1Н, т, $J=7,5$ , $\text{Ph}_4$ -Н), 7,72 (1Н, д, $J=7,5$ , 11-Н), 7,85-7,89 (6Н, м, 8-Н + 1,4- $\text{C}_6\text{H}_4$ 2-, 6-Н + $\text{Ph}_2$ -, 6-Н)
15	4,78 (2Н, с, $\text{NH}_2$ ), 6,21 (1Н, с, 4-Н), 6,53 (1Н, т, $J=7,8$ , 1,2- $\text{C}_6\text{H}_4$ 5-Н), 6,61-6,68 (2Н, м, 1,2- $\text{C}_6\text{H}_4$ 3-, 4-Н), 7,12 (1Н, с, NH), 7,32 (1Н, т, $J=7,2$ , $\text{Ph}_4$ -Н), 7,40-7,45 (3Н, т, $J=7,5$ , $\text{Ph}_3$ -, 5-Н + 1,2- $\text{C}_6\text{H}_4$ 6-Н), 7,71 (2Н, д, $J=7,8$ , $\text{Ph}_2$ -, 6-Н), 12,38 (1Н, с, 1-Н)
17	3,05 (2Н, т, $J=6,9$ , $\text{CH}_2\text{CN}$ ), 4,26 (2Н, т, $J=6,6$ , $\text{CH}_2\text{N}$ ), 6,49 (1Н, с, 4-Н), 6,83 (1Н, д, $J=7,5$ , 1,2- $\text{C}_6\text{H}_4$ 6-Н), 6,89 (1Н, т, $J=7,8$ , 1,2- $\text{C}_6\text{H}_4$ 4-Н), 7,20 (1Н, т, $J=8,1$ , 1,2- $\text{C}_6\text{H}_4$ 5-Н), 7,21 (1Н, д, $J=7,8$ , 1,2- $\text{C}_6\text{H}_4$ 3-Н), 7,30 (1Н, т, $J=7,2$ , $\text{Ph}_4$ -Н), 7,40 (2Н, т, $J=7,2$ , $\text{Ph}_3$ -, 5-Н), 7,63 (1Н, с, NH), 7,81 (2Н, д, $J=7,5$ , $\text{Ph}_2$ -, 6-Н), 10,75 (1Н, с, NHCO)
18	3,06 (2Н, т, $J=6,6$ , $\text{CH}_2\text{CN}$ ), 4,30 (2Н, т, $J=6,6$ , $\text{CH}_2\text{N}$ ), 4,88 (2Н, с, $\text{NH}_2$ ), 5,97 (1Н, с, 4-Н), 6,54 (1Н, т, $J=7,5$ , 1,2- $\text{C}_6\text{H}_4$ 5-Н), 6,74 (1Н, т, $J=7,5$ , 1,2- $\text{C}_6\text{H}_4$ 4-Н), 6,80-6,83 (2Н, м, 1,2- $\text{C}_6\text{H}_4$ 3-, 6-Н), 7,13 (1Н, с, NH), 7,27 (1Н, т, $J=7,2$ , $\text{Ph}_4$ -Н), 7,36 (2Н, т, $J=7,2$ , $\text{Ph}_3$ -, 5-Н), 7,73 (2Н, д, $J=7,2$ , $\text{Ph}_2$ -, 6-Н)
20	3,72 (3Н, с, $\text{CH}_3$ ), 4,77 (2Н, с, $\text{NH}_2$ ), 5,92 (1Н, с, 4-Н), 6,53 (1Н, т, $J=8,4$ , 1,2- $\text{C}_6\text{H}_4$ 5-Н), 6,60-6,67 (2Н, м, 1,2- $\text{C}_6\text{H}_4$ 3-, 4-Н), 7,15 (1Н, с, NH), 7,40-7,51 (6Н, м, Ph + 1,2- $\text{C}_6\text{H}_4$ 6-Н)

ангидрида в течение 3 мин. Смесь выдерживают 1 ч при 15–20°C, разбавляют 2 мл безводного диоксана и кипятят при перемешивании до образования гомогенного раствора. После остывания до 20°C добавляют 1,5 мл воды и подогревают до 50–60°C. После остывания осадок отфильтровывают, промывают 2-пропанолом. Соединение получено в индивидуальном состоянии.

Аналогично синтезированы соединения 8e,f из соединений 2e,f.

**1-(3-Пиридинкарбонил)-5-(2-трифторацетаминоанилино)-3-фенилпирацол (7f).** К соединению 1f

(2 ммоль) в 1 мл безводного диоксана при перемешивании прибавляют 0,5 мл (5 ммоль) трифторуксусного ангидрида в течение 3 мин. Смесь выдерживают 1 ч при 15–20°C, разбавляют 2-пропанолом, водой (по 1 мл) и 2 мл 20%-го водного раствора аммиака, а затем перемешивают 2–3 мин. Водный слой сливают с выделившимся маслом. Масло промывают 5 мл воды, которую затем сливают. Остаток заливают 2 мл 2-пропанола и кипятят при перемешивании до начала кристаллизации. После остывания осадок отфильтровывают, промывают охлажденным 2-пропанолом. Кри-

сталлизуют из смеси 2-пропанол — этилацетат в пропорции 2:1.

Аналогично синтезировано соединение 7g из соединения 1g.

**1-Бензоил-3-(4-метоксифенил)-5-(2-трифторацетаминоанилино)пиразол (8a) и 2-фенил-5-(4-метоксифенил)-12a-трифторметил[1,3,4]оксадиазоло[2',3':2,3]пиrimидо[1,6-а]бензимидазол (13).** К соединению 2a (2 ммоль) в 1 мл безводного диоксана прибавляют при перемешивании 6 ммоль трифтормукусного ангидрида. Смесь выдерживают 1 ч при 15–20°C, разбавляют 5 мл воды, подщелачивают 1,5 мл 20%-го водного раствора аммиака и перемешивают 2–3 мин. Водный слой сливают с выделившимся масла. Масло растворяют в 5 мл бензола. Полученный раствор пропускают через колонку с  $\text{Al}_2\text{O}_3$ , элюируя бензолом и отбирая первую окрашенную в желтый цвет фракцию. Бензол упаривают в вакууме водоструйного насоса при нагревании до 60°C. Остаток растворяют в смеси этанола и воды (по 4 мл) и подкисляют 1,5 мл концентрированной соляной кислоты. Перемешивают до начала кристаллизации соединения 8a. Осадок отфильтровывают через 1 ч, промывают небольшим количеством смеси этанола и воды (1:1) и кристаллизуют из смеси этанола и воды (1:1).

Фильтрат, полученный после выделения из реакционной смеси соединения 8a, разбавляют 10 мл воды и подщелачивают 2 мл 20%-го водного раствора аммиака. Смесь кипятят при перемешивании, отгнав этиanol, а затем охлаждают. Выделившееся масло при перемешивании растирают в порошок. Осадок отфильтровывают, промывают водой и после кристаллизации из смеси ацетона и воды (2:1) получают соединение 13. Спектр ЯМР  $^{19}\text{F}$ ,  $\delta$ , м.д.: — 82,77.

**3-(2-Аминоанилино)-5-фенилпиразол (15).** Раствор соединения 7a (2 ммоль) и гидразингидрата (80%, 18 ммоль) в 2 мл метанола кипятят 30 мин. Раствор упаривают на 1/2 объема, прибавляют равный объем воды и перемешивают. После остывания осадок отфильтровывают, промывают смесью воды и метанола (1:1).

**5-(2-Трифторацетаминоанилино)-3-фенил-1-цианэтилпиразол (17).** К смеси 4 ммоль соединения 16 в 2 мл безводного диоксана при охлаждении на

водянной бане и перемешивании прибавляют по каплям 6 ммоль трифтормукусного ангидрида, удерживая температуру 17–20°C. Реакционную смесь оставляют при 20°C на 1 ч, а затем разбавляют 20 мл воды и 2 мл 20%-го водного раствора аммиака, подогревают до 60°C и перемешивают до начала кристаллизации. После остывания осадок отфильтровывают, промывают водой, смесью воды и 2-пропанола (1:1), сушат при 80°C и кристаллизуют из толуола. ИК-спектр,  $\text{cm}^{-1}$ : 1735 ( $\text{C}=\text{O}$ ), 2275 ( $\text{C}\equiv\text{N}$ ), 3270, 3435 (N-H).

**5-(2-Аминоанилино)-3-фенил-1-цианэтилпиразол (18).** Смесь 0,6 г соединения 17, 0,3 мл 80%-го гидразингидрата и 1 мл метанола кипятят 30 мин. Реакционную смесь разбавляют 0,5 мл метанола, 0,5 мл воды и перемешивают до начала кристаллизации. После остывания осадок отфильтровывают, промывают смесью метанола и воды (1:1) и сушат при 80°C. Соединение получено в аналитически чистом состоянии.

**3-(2-Аминоанилино)-1-метил-3-фенилпиразол (20).** Смесь 1 г (2,5 ммоль) соединения 18, 0,378 г (3 ммоль) свежеперегнанного диметилсульфата и 2,5 мл безводного толуола выдерживают на масляной бане при 120°C в течение 1 ч. После остывания сливают толуольный слой с выделившегося масла. Остаток сушат в вакууме водоструйного насоса при нагревании до 100°C, а затем растворяют в 2,5 мл метанола и после прибавления 0,6 мл 80%-го гидразингидрата кипятят 30 мин. Прибавляют 1,8 мл воды и перемешивают до начала кристаллизации. После остывания осадок отфильтровывают, промывают смесью метанола и воды (1:1) и кристаллизуют из смеси этианола — вода (2:1).

#### Выводы

1. Рециклизация ароилгидразонов 2-ароилметил-1Н-бензимидазолов, протекающая при их взаимодействии с трифтормукусным ангидридом, — достаточно общий метод синтеза ранее неизвестных 3-арил-1-ароил-5-(2-трифторацетаминоанилино)пиразолов.

2. Реакция частично осложняется образованием 2,5-диарил-12a-трифторметил[1,3,4]оксадиазоло[2',3':2,3]пиrimидо[1,6-а]бензимидазолов, чему благоприятствуют электронодонорные заместители у гидразоновой азометиновой связи исходных соединений.

#### Література

- Швайка О.П., Артемов В. Н. // ЖОХ. — 1972. — Т. 41, вып. 10. — С. 1788–1823.
- Van der Plas H.C. Ring transformation of heterocycles. — New York: John Wiley & Sons, 1972. — Vol. 2. — P. 113.
- Vivona N., Buscemi S., Frenna V., Gusmano G. // Adv. Heterocycl. Chem. — 1993. — Vol. 56. — P. 49–154.
- Бабаев Е.В., Зефиров Н.С. // ХГС. — 1996. — №11/12. — С. 1564–1580.
- Hajos G., Riedl Z., Kollenz G. // Eur. J. Org. Chem. — 2001. — Vol. 18. — P. 3405–3414.
- Журавель И.О., Коваленко С.М., Черных В.П., Русанова С.В // ЖОФХ. — 2003. — Т. 1, №3–4. — С. 21–25.
- Дзвинчук И.Б., Выпирailenko A.B., Пироженко В.В., Лозинский М.О. // ХГС. — 1999. — №11. — С. 1512–1518.
- Дзвинчук И.Б., Лозинский М.О. // ХГС. — 2003. — №3. — С. 436–437.
- Дзвинчук И.Б., Чернега А.Н., Повоцкий М.И., Лозинский М.О. // ЖОФХ. — 2004. — Т. 2, №2. — С. 33–38.
- Дзвинчук И.Б., Карташов С.А., Выпирailenko A.B., Лозинский М.О. // ХГС. — 2002. — №5. — С. 703–705.
- Essasi E.M., Salem M. // Bull. Soc. Chim. Belges. — 1985. — Vol. 94. — P. 755–758.
- Дзвинчук И.Б., Карташов С.А., Выпирailenko A.B. и др. // ХГС. — 2004. — №5. — С. 679–684.

Надійшла до редакції 23.06.2005 р.